

مطالعه اثر نوع محلول و عمق غوطه‌وری پروب فراصوت بر ضخامت نانو ورقهای گرافن تولید شده در فاز مایع با پروب فراصوت

رضا افضلزاده

* سید ولی‌الحق مشفق*

دانشیار دانشکده فیزیک،

دانشجوی دکتری دانشکده فیزیک،

دانشگاه صنعتی خواجه نصیرالدین طوسی

دانشگاه صنعتی خواجه نصیرالدین طوسی

rafzalzadeh@yahoo.com

s.mushfiq@email.kntu.ac.ir

تاریخ پذیرش: ۱۴۰۱/۱۲/۲۸

تاریخ دریافت: ۱۴۰۱/۰۹/۳۰

چکیده

بکی از روش‌های معمول تولید لایه‌های دو بعدی استفاده از روش پوسته‌سازی در فاز مایع به روش فیزیکی استفاده از پروب فراصوت است. در این پژوهش، پوسته‌های گرافن با استفاده از پروب فراصوت در محیط‌های گوناگون تولید شد. برای بهدست آوردن شرایط بهینه تولید پوسته‌های دو بعدی گرافن از پودر گرافیت بهروش پوسته‌سازی در فاز مایع تحت تابش امواج فراصوت، شبیه‌سازی توزیع فشار فراصوت درون محلول و محاسبه اختلاف فشار با استفاده از نرم‌افزار کامسول^۱ انجام شد. این شبیه‌سازی برای پروب فراصوت با فرکانس کاری ۲۰ کیلوهرتز برای پروب با قطر ۲۲ میلی‌متر صورت گرفت تا اختلاف فشار صوتی درون محلول با تغییرات عمق غوطه‌وری پروب محاسبه گردد. سپس شرایط که بیشترین اختلاف فشار را نشان می‌دهد در کار تجربی برای بررسی اثرات عمق غوطه‌وری تحت تابش فراصوت در تولید مقدار و ضخامت لایه‌های گرافن، مورد مطالعه قرار گرفت. همان‌طور که از نتایج شبیه‌سازی انتظار می‌رفت، نتایج تجربی نشان داد که با افزایش اختلاف فشار آکوستیکی درون محلول، میزان تولید گرافن افزایش می‌یابد. نتایج بهدست آمده با دستگاه‌های آنالیزی طیف‌سنجی فرابنفش-مرئی، میکروسکوپ الکترونی روبشی نشر میدانی، میکروسکوپ عبوری و طیف رامان نشان می‌دهد که با محلول که از ترکیب آب-اتانول با نسبت حاصل از رابطه کانورس-رايت^۲ حاصل شده، تراکم کم‌لایه‌های گرافن با ضخامت کم بیشتر امکان‌پذیر است. همچنین عمق غوطه‌وری پروب بر تولید میزان و تعداد لایه‌های گرافن نقش بهسزایی دارد.

واژگان کلیدی: کم‌لایه‌های گرافن، نوع محلول، عمق غوطه‌وری پروب، شبیه‌سازی، طیف رامان.

۱. مقدمه

مزیت ایده‌ی استفاده از امواج فراصوت در کاهش مصرف انرژی و کاهش عوارض نسبت به استفاده از مواد شیمیایی و حلال‌های مضر برای محیط زیست است. امواج فراصوت برای تقویت واکنش‌های شیمیایی با ایجاد یک محیط شیمیایی منحصر به فرد براساس پدیده حباب‌زایی فراصوت^۳ که در سال ۱۹۷۴ کشف شد و در *Nature* توسط فولکر^۴ و همکاران گزارش شده است، استفاده می‌شود [۱]. فرایند حباب‌زایی علاوه‌بر فشار و ایجاد دمای موضعی بالا، موجب موج ضربه شدید نیز می‌شوند. از انرژی این موج برای همگن‌سازی و سنتز مواد، شکستن پیوندهای واندروالسی و کووالانسی و نیز تسريع برخی واکنش‌های شیمیایی استفاده می‌شود [۲، ۳]. در هر آزمایش سونو شیمیایی، توزیع شدت انرژی فراصوت پس از فرکانس، مهم‌ترین پارامتر برای بررسی اثرات فراصوت است. در حالی که در مورد سونوشیمی با شدت کم، اندازه‌گیری و توزیع آن به خوبی حل شده است، در مورد شدت بالا زمانی که حباب‌زایی اتفاق می‌افتد اندازه‌گیری بسیار پیچیده‌تر می‌گردد. به همین دلیل است که محاسبه توزیع فشار صوتی درون رآکتور ضروری است. روش حل عددی معادله موج به توزیع شدت درون رآکتور کمک می‌کند. محاسبات همراه با آزمایش نشان داده است که کل رآکتور مانند یک تشید کننده رفتار می‌کند و توزیع انرژی به شدت به شکل آن بستگی دارد. توافق بین شبیه‌سازی‌های یارانه‌ای و آزمایش‌های بهینه‌سازی، تعیین شکل بهینه رآکتور فراصوت را امکان‌پذیر می‌سازد. هندسه بهینه منجر به افزایش شدت در طول بخش بزرگی از رآکتور می‌گردد [۴-۶]. تنها آگاهی دقیق از توزیع فراصوت از جمله بازتاب و برهم نهی امواج در رآکتور، امکان پیش‌بینی توزیع شدت یا معادل آن، توزیع محلی دامنه فشارصوتی را فراهم می‌کند که برای پیش‌بینی اثرات احتمالی فراصوت بسیار مهم است [۷-۱۰].

مواد نانو اخیراً بسیار مورد توجه قرار گرفته‌اند که نانو مواد دو بعدی و به‌ویژه گرافن یکی از این مواد است. به‌دلیل خواص مکانیکی، الکتریکی و حرارتی بالای گرافن، این ماده به عنوان یکی از با ارزش‌ترین مواد در حال ظهور برای تحقیقات در سال‌های اخیر تبدیل شده است [۱۱-۱۵]. برای تولید پوسته‌های گرافن روش‌های مختلف استفاده و بهسازی شدند. اخیراً بسیاری از پژوهشگران حوزه‌های فیزیک، شیمی و نانوفناوری از انواع مولدهای فراصوت برای بهینه‌سازی آزمایش‌های خود بهره گرفته‌اند. تولید پوسته‌های دو بعدی (مانند گرافن، دی سولفید مولیبدن و ...)، در محیط مایع با استفاده از مبدل‌های فراصوت را اصطلاحاً پوسته‌سازی در فاز مایع^۵ می‌گویند. با پیش‌بینی شرایط حباب‌زایی درون رآکتور فراصوت مخصوصاً توزیع فشار به‌وسیله شبیه‌سازی، چیدمان مناسب آزمایش، طراحی دقیق ابزار و انتخاب درست مواد، این روش می‌تواند یک فرایند ساده و با هزینه و آلایندگی اندک باشد [۱۶-۲۲]. پژوهش‌های متعددی درباره تولید نانوپوسته‌های گرافن به روش LPE و عوامل تأثیرگذار بر این فرایند صورت گرفته است. تولید گرافن با استفاده از پروب فراصوت با لایه‌برداری از پودر گرافیت در محلول اتانول با زمان تابش کوتاه فراصوت گزارش شده است [۲۳]. همچنین پژوهشگران، اثر بسامد و توان فراصوت بر حباب‌زایی [۲۴]، اثر فاصله پروب فراصوت از کف ظرف [۲۵] و اثر کشش سطحی محلول دوجزئی را بررسی و گزارش داده‌اند. مایعات با کشش سطحی در حدود $40-50\text{ mJ m}^{-2}$ بهترین محلول برای پخش و تفکیک پوسته‌های گرافن است [۲۶]. برای تعیین ضخامت یا لایه‌های مواد دو بعدی رهیافت‌های گوناگون وجود دارد، از جمله این روش‌های مشخصه‌یابی، می‌توان از طیف‌سنجی فرابنفش-مرئی، تصویربرداری به کمک میکروسکوپ‌های الکترونی و طیف‌سنجی رaman^۶ نام برد [۲۷-۲۸].

شدن و تبخیر محلول، بشر مورد استفاده در حمام آب و یخ قرار داده شد. بهمنظور جلوگیری و پیشگری از آسیب‌های احتمالی وارد بر مبدل فراصوت در تابش‌های طولانی مدت، از حالت پالس (۵۰٪) دستگاه استفاده گردید. زمان تابش امواج فراصوت برای تمام نمونه‌ها ۵۵ دقیقه است که قبلاً به‌دست آمده است [۲۹]. توان مصرفی دستگاه پروب فراصوت ۷۰ وات است. برای مطالعه عمق‌غوطه‌وری پروب فراصوت در تولید نمونه‌های گرافن عمق‌های غوطه‌وری ۱۰، ۱۵، ۲۰ و ۳۰ میلی‌متر استفاده شد. برای هر نمونه طیف‌جذب فرابنفش-مرئی^۱ به‌دست آمد. از نمونه‌ها به کمک میکروسکوپ الکترونی Zeiss ESCAN-Mira3-15kV تصویربرداری شد. سپس از نمونه بهینه طیف رامان (Takram N1-541) گرفته شد.

۳. شبیه‌سازی توزیع فشار فراصوت با نرم‌افزار کامسول

در این بخش توزیع فشار درون محلول در اثر تابش پروب فراصوت مورد بررسی قرار گرفته است. ابتدا با درنظر گرفتن فیزیک مسئله در قسمت انتخاب فضای ابعادی Select "2D Aximmetric, Space Dimensions" یا «دوبعدی با تقاضن محوری» انتخاب شد. در ادامه با یک دوران ۳۶۰ درجه کل حجم راکتور به‌دست خواهد آمد. در گام دوم فیزیک مسئله را انتخاب نمودیم، که در این مورد با توجه به اینکه فشار متغیر اصلی است، فیزیک مسئله Pressure Acoustics, Transient (actd) و معادله حاکم بر آن تعریف می‌شود [۲۸]:

$$\nabla \left(\frac{1}{\rho} \nabla P \right) - \frac{1}{\rho c^2} \frac{\partial^2 P}{\partial t^2} = 0 \quad (1)$$

فشار P هارمونیک وابسته به زمان درنظر گرفته می‌شود، یعنی:

$$P(r, t) = P(r)e^{i\omega t} \quad (2)$$

هدف اصلی در این تحقیق دریافت شرایط بهینه برای تولید پوسته‌های گرافن با ضخامت انداز است. بنابراین، ابتدا محیط مناسب برای پوسته‌سازی مورد بررسی قرار گرفت. شبیه‌سازی اثر عمق‌غوطه‌وری پروب d بر توزیع فشار داخل محلول برای دریافت شرایط بهینه توسط نرم‌افزار کامسول انجام شد. سپس پوسته‌های گرافن از طریق تاباندن امواج فراصوت بر پودر گرافیت در محلولی شامل آب و اتانول تهیه شدند. اثر نوع محلول و عمق‌غوطه‌وری پروب بر ضخامت لایه‌های گرافن به کمک طیف‌سنجی فرابنفش-مرئی، میکروسکوپ الکترونی نشر میدانی^۲، میکروسکوپ الکترونی تراگسیلی (TEM)^۳ و طیف‌سنجی رامان مورد مطالعه قرار گرفت. نتایج شبیه‌سازی با نتایج تجربی مقایسه و تحلیل گردید.

۲. مواد و روش‌ها

امواج فراصوت به کمک دستگاه فراصوت با پروب تیتانیومی به قطر ۲۲ میلی‌متری با توان اسمی ۱۲۰۰ وات و فرکانس ۲۰ کیلوهرتز^۴ (FAPAN1200UPS) تولید شرکت فاپن بر نمونه‌ها تابانده شدند. در نخست برای دست‌یابی به شرایط بهینه، اختلاف فشار فراصوت در داخل محلول از نرم‌افزار کامسول استفاده شد. برای شروع شبیه‌سازی بهصورت گرافیکی در نرم‌افزار کامسول، کار در ۴ مرحله پیگیری شد [۲۸]:

- ✓ طراحی هندسه مسئله با تعریف اشکال هندسی مورد نظر (geometry)
- ✓ تعیین ماده هندسه‌های تعریف شده (Materials)
- ✓ تعریف پارامترهای مورد استفاده (Parameters)
- ✓ تعیین شبیه‌سازی مش‌بندی فضا (Mesh) برای تهیه هر نمونه از محلول، ۰/۲۵ گرم پودر گرافیت به ۱۲۵ سانتی‌متر مکعب محلول‌های شامل آب، اتانول و آب-اتانول (با نسبت ۶۵٪ آب دیونیزه و ۳۵٪ اتانول، با نسبت حاصل از رابطه کانورس-رایت) اضافه گردید. برای جلوگیری از گرم

۴. نتایج و بحث

در ادامه این بخش، جهت ممانعت از طولانی شدن متن مقاله، نتایج به دست آمده بالا فاصله مورد بحث قرار خواهد گرفت.

۴-۱. اثر نوع محلول

در فرایند پوسته‌سازی ماده دوبعدی و بهویژه گرافن، کشش سطحی محلول نقش کلیدی و بنیادی دارد، زیرا انتخاب محلول مناسب به عنوان بستر انجام آزمایش‌ها بسیار حائز اهمیت است. بنابراین، محلولی باید مورد استفاده قرار گیرد که به تنهایی کشش سطحی نزدیک به mJm^{-2} ۴۰-۵۰ داشته باشد و یا اگر محلول ترکیبی استفاده می‌شود، نسبت اجزای محلول باید به گونه‌ای باشد که این مهم را برآورده کند. برای بررسی دریافت محیط مناسب محلول‌های مورد مطالعه مطابق جدول ۱ استفاده شد.

که (۷) فرکانس زاویه‌ای است. قسمت فشار وابسته به زمان در معادله هلمهولتز حل می‌شود:

$$\nabla \left(\frac{1}{\rho} \nabla P \right) - \frac{\omega^2}{\rho c^2} P = 0 \quad (7)$$

شرایط مرزی اولیه بر روی ضلع‌های پربو به صورت دیوار سخت^{۱۱} درنظر گرفته شده است. این بدین معناست که تغییرات فشار در راستای عمودی دیوار صفر است و بیرون از مرز شامل $A = \pi r^2$ تغییرات فشار نمی‌شود. با توجه به سطح مقطع پربو که ۲ ساعت پربو است و همچنین توانی که به دستگاه فرماحت اعمال می‌کنیم، می‌توان شدت موج فرماحت را به راحتی محاسبه کرد. می‌دانیم که $I = \frac{W}{A}$ که در اینجا I شدت آکوستیک و W توان دستگاه فرماحت است لذا می‌توان فشار اعمال شده (برحسب پاسکال) به سطح نوک پربو را از رابطه $P = \sqrt{2I\rho c}$ محاسبه و اعمال کرد. در رابطه P ، سرعت صوت در محلول آب و الكل c (1430 ms^{-1}) و چگالی محلول آب و الكل ρ (998.89 kgm^{-3}) است.

جدول ۱. حجم آب دیونیزه و اتانول محلول‌های مورد استفاده در آزمایش‌ها.

نوع محلول	حجم آب دیونیزه [mL]	حجم اتانول [mL]	
محلول اول (آب)	۱۲۵	۰	
محلول دوم (اتanol)	۰	۱۲۵	
محلول سوم (آب-اتanol)	۸۱.۵	۴۳.۷۵	

تولید شده با این محلول نسبت به محلول‌های دیگر یک دست است.

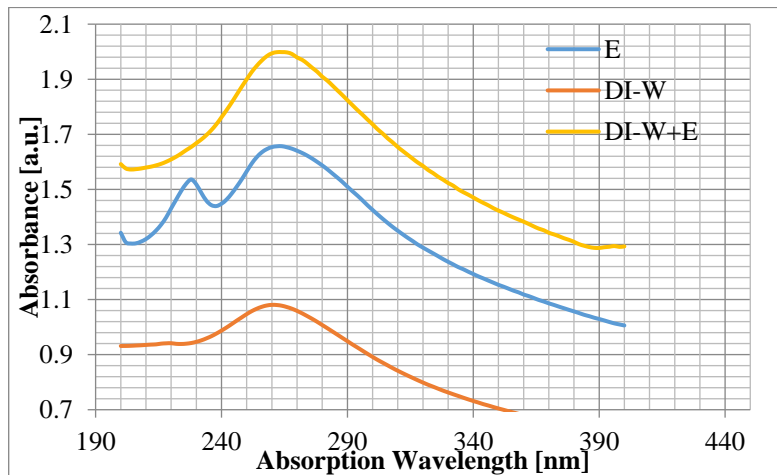
نمودار آبی در شکل ۱ که طیف نمونه تولید شده در اتانول (E) است نشان می‌دهد که علاوه بر پوسته‌های گرافن اکسید گرافن نیز تولید گردیده است. شکل ۱ نشان می‌دهد که پوسته‌های گرافن تولید شده با محلول DI-W+E نسبت به محلول‌های دیگر بیشتر است.

یک دلیل که در محلول آب-اتanol نانوپوسته‌های گرافن بیشتر تولید شده کشش سطحی محلول است.

طیف‌های حاصل از طیف‌سنگی فرابینکش-مرئی برای بررسی اثر نوع محلول‌های مورد استفاده در شکل ۱ نشان داده شده است. نمونه‌ها در سه محلول اتانول ۹۶٪ (E)، آب دی یونیزه (DI-W)، و آب دی یونیزه - اتانول به نسبت ۶۵٪ آب و ۳۵٪ اتانول (DI-W+E) مورد آزمایش قرار گرفت. به طوری که در شکل ۱ مشاهده می‌شود، تولید پوسته‌های گرافن در هر سه محلول مورد استفاده صورت گرفته است. از جانب دیگر به دلیل اینکه عرض پیک محلول DI-W+E نسبت به شرایط دیگر تیزتر است به نظر می‌رسد که پوسته‌های

زیرا در محلول آب-اتانول پخش و انتشار پوسته‌ها در مقایسه

به محلول آب و محلول اتانول بیشتر است.



شکل ۱. نمودار جذب فرابنفش-مرئی برای نمونه‌های گرافن تولید شده با اتانول و آب با نسبت ترکیب گوناگون.

تأثیری است بر اینکه مناسب‌ترین مقدار برای کشش‌سطحی محلول مورد استفاده در فرایند پوسته‌سازی، 45 mJm^{-2} است، و از سوی دیگر ثابت می‌کند که رابطه کانورس-رایت، مقدار درستی را برای کشش‌سطحی محلول ترکیبی دو جزئی در اختیار قرار می‌دهد.

در جدول ۲ طول جذب، برای نمونه‌های تولید شده با محلول‌های مختلف و با مقدارهای کشش‌سطحی متفاوت درج شده است. از جدول ۲ مشاهده می‌گردد که بیشترین میزان جذب و طول موج که نزدیک‌ترین عدد برای کم‌لایه‌ای گرافن است، مربوط به محلول شماره ۳ است. این نتیجه، از طرفی

جدول ۲. مقدار طول موج جذب و میزان جذب بر حسب نوع محلول

میزان جذب [a.u.]	طول موج جذب [nm]	کشش‌سطحی [mJm^{-2}]	محلول
۱.۰۸۰۰	۲۶۰	۷۲	آب دیونیزه ۱
۱.۶۵۶۷	۲۶۴	۲۲	اتانول ۲
۱.۹۹۸۵	۲۶۴	۴۵	آب+اتانول ۳

فشار (فشار منفی) و پروفشار (فشار مثبت) در داخل رآکتور فراصلوت را تغییر می‌دهد.

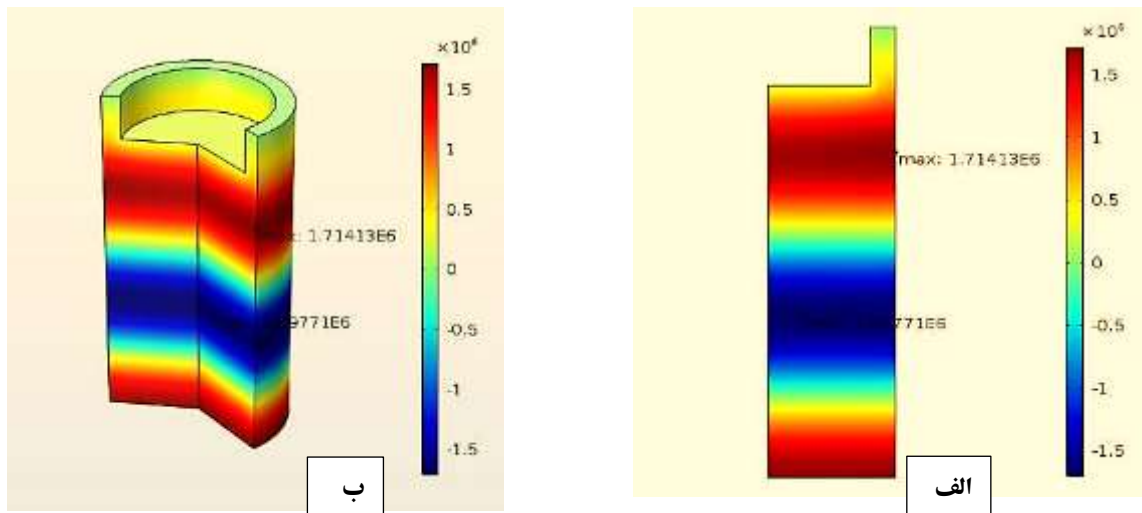
به عنوان مثال، برای عمق‌غوطه‌وری 15 میلی‌متر حداقل وحدت فشار به ترتیب 8.9×10^5 و $7.9 \times 10^5 \text{ پاسکال}$ است و اختلاف فشار در داخل محلول به $17 \times 10^5 \text{ پاسکال}$ می‌رسد که مقدار بهینه را نشان می‌دهد.

۴-۲. اثر عددی عمق‌غوطه‌وری در توزیع فشار فرداخوت درون محلول

تأثیر عمق‌غوطه‌وری پروب و داده‌های عددی توزیع فشار فرداخوت داخل محلول با عمق‌غوطه‌وری‌های مختلف توسط شبیه‌سازی به ترتیب در شکل ۲ و جدول ۳ نشان داده شده است. نتایجی که از جدول ۳ به دست می‌آید نشان می‌دهد که تغییر عمق‌غوطه‌وری پروب به طور قابل توجهی ناچیه‌ی کم

جدول ۳. توزیع فشار پربوی فراصوت با عمق غوطه‌وری‌های مختلف

عمق غوطه‌وری پربوی (mm)	ناحیه پرفشار [Pa]	ناحیه کم‌پرفشار [Pa]	اختلاف فشار [Pa]
5	2.5×10^5	-2.2×10^5	4.7×10^5
10	4.2×10^5	-4.2×10^5	8.2×10^5
13	6.8×10^5	-6.4×10^5	1.3×10^6
15	8.9×10^5	-7.9×10^5	1.7×10^6
17	6.5×10^5	-6.3×10^5	1.2×10^6
20	3.7×10^5	-3.2×10^5	6.9×10^5
25	3.3×10^5	-3.00×10^5	6.3×10^5
30	3.0×10^5	-2.9×10^5	5.9×10^5
35	2.7×10^5	-2.4×10^5	5.1×10^5



شکل ۲. توزیع فشار فراصوت درون محلول برای رآکتوری به قطر ۵۰ میلی‌متر و عمق ۱۵ میلی‌متر و پربوی به قطر ۲۲ میلی‌متر، (الف) 2D و (ب) 3D.

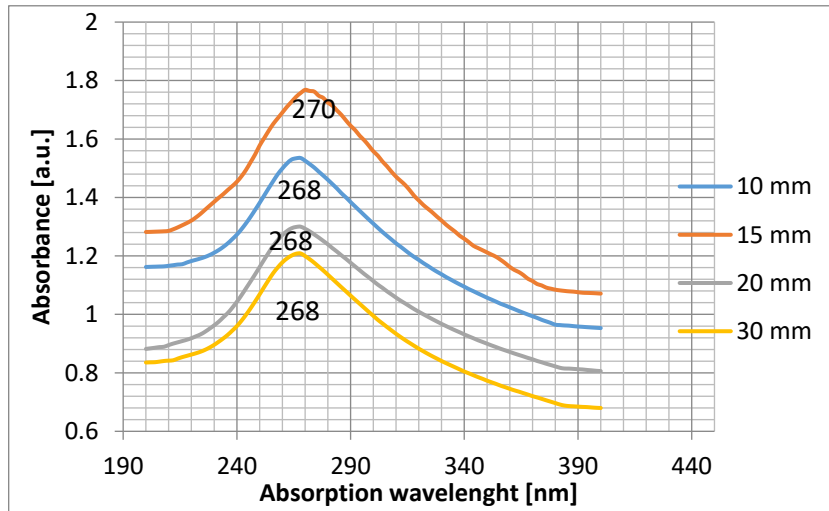
عمق‌های غوطه‌وری دیگر است [۲۸]. به عبارت دیگر با عمق غوطه‌وری ۱۵ میلی‌متر موج‌های بازتابی سازنده بیشتری ایجاد می‌گردند و سبب اختلاف فشار بیشتر در داخل محلول می‌شوند.

۴-۳. اثر تجربی عمق‌غوطه‌وری پربوی
عمق غوطه‌وری پربوی نیز از جمله پارامترهای مهم هندسی فراصوت است. برای مطالعه اثر عمق‌غوطه‌وری پربوی فراصوت، نمونه‌هایی در توان الکتریکی $70 \sim 50$ وات، پالس٪، زمان

اختلاف فشار، بین ناحیه‌ی پرفشار و کم‌پرفشار با عمق غوطه‌وری ۱۵ میلی‌متر بسیار بیشتر از اختلاف فشار در مقایسه با دیگر حالات است. همان‌طور که در جدول ۳ مشاهده می‌شود با افزایش عمق‌غوطه‌وری تا ۱۵ میلی‌متر، دامنه فشار کمینه/منفی بالاتری به دست خواهد آمد. با این حال، برای عمق‌غوطه‌وری ۱۵ میلی‌متری، اختلاف فشار به شدت افزایش می‌یابد، که سبب می‌شود تا حباب‌های بیشتر ایجاد شود. یکی از دلایل افزایش اختلاف فشار با عمق‌غوطه‌وری ۱۵ میلی‌متری موج‌های بازتابی سازنده در مقایسه با

۲۰ میلی‌متر و ۳۰ میلی‌متر تولید شدند. نمودار جذب محلول‌ها بعد از سانتریفیوژ در شکل ۳ نشان داده شده است.

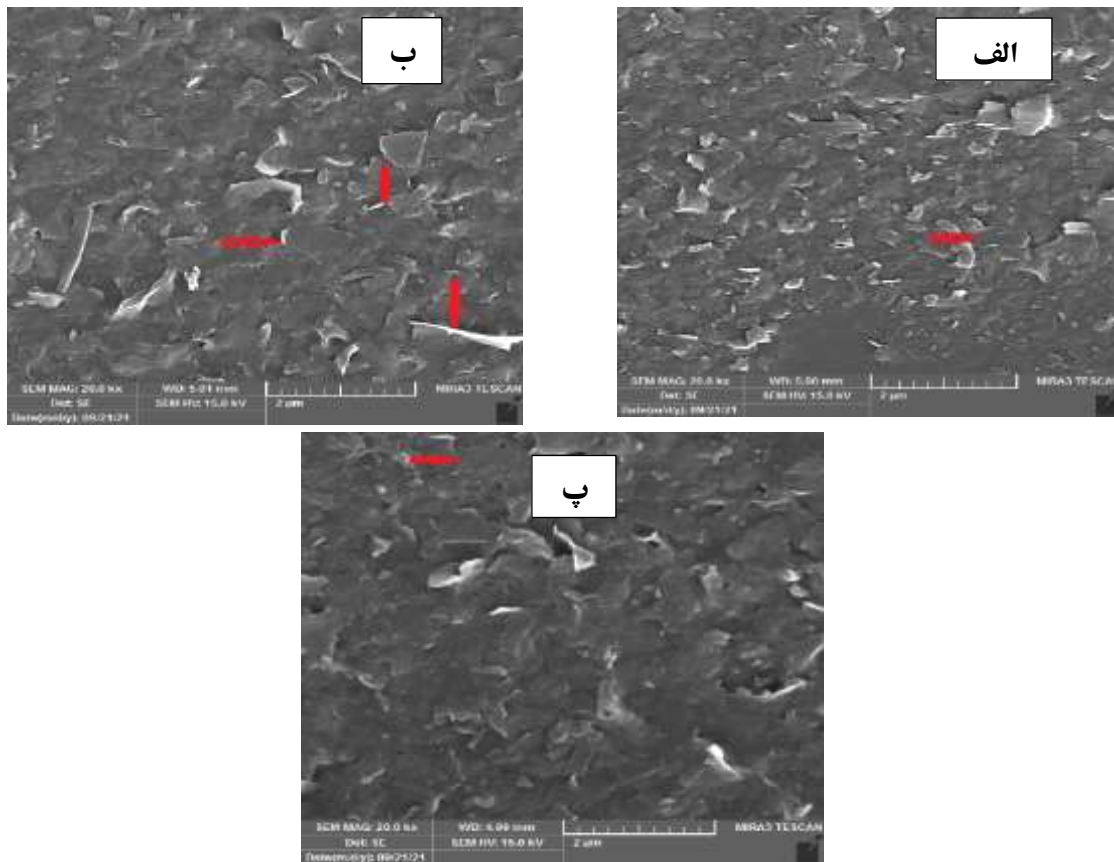
تابش ۵۵ دقیقه، ۰/۲۵ گرم پودر گرافیت در ۱۲۵ میلی‌لیتر محلول (شماره ۳) با قطر پروب ۲۲ میلی‌متر تهیه شدند. نمونه‌ها به ترتیب، با عمق غوطه‌وری ۱۰ میلی‌متر، ۱۵ میلی‌متر،



شکل ۳. نمودار طیف جذب فرابنفش-مرئی برای نمونه‌های گرافن تولید شده با عمق غوطه‌وری متفاوت با پروب ۴۰ میلی‌متری

میکروسکوپ الکترونی نشر میدانی که در شکل ۴ نشان داده شده نیز این ویژگی‌ها را تأیید می‌کنند. مزیت این پژوهش در مقایسه با پژوهش‌های صورت گرفته [۲۷، ۲۳] و [۳۰] در این است که، برای ایجاد شرایط بهینه تولید نانوپوسته‌های گرافن، در نخست به محاسبات عددی و شبیه‌سازی توزیع فشار فراصوت پرداختیم. هدف اصلی ما از شبیه‌سازی، دریافت شرایط بهینه توزیع فشار در داخل محلول است. چون افزایش اختلاف فشار باعث شکسته شدن بیشتر پیوندهای واندروالس لایه‌های گرافن تولید شده در داخل محلول می‌گردد. در گام بعدی، اثر پارامترهای مختلف بر خحامت پوسته‌های تولید شده با پروب فراصوت به شکل تجربی مورد بررسی قرار گرفت. از مقایسه نتایج عددی و تجربی شرایط بهینه برای تولید نانو پوسته‌های کم‌لایه گرافن (۱-۴ لایه) مساعد گردید.

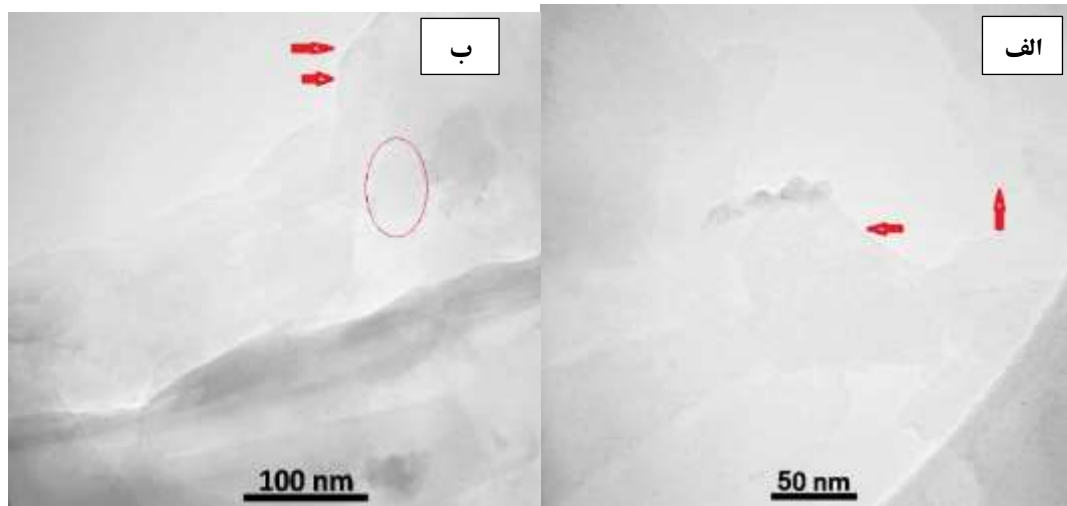
برای تغییر عمق غوطه‌وری پروب دستگاه فراصوت، در پالس و زمان تابش یکسان، طول موج جذب و پیک جذب برای هر نمونه به دست آمد که در شکل ۳ نشان داده شده است. به ترتیبی که در شکل ۳ مشاهده می‌شود، پیک جذب نمونه‌ها با عمق غوطه‌وری ۱۵ میلی‌متر در توانهای برابر به مقدار قابل توجهی افزایش می‌یابد. از سوی دیگر طول موج جذب نانو پوسته‌های گرافن تولید شده با عمق غوطه‌وری ۱۵ میلی‌متری، ۲۷۰ nm است که بیان گر تولید نانو پوسته‌های کم‌لایه (۱-۴ لایه) است [۳۰]. همان‌طور که از شبیه‌سازی توزیع فشار در جدول ۳ مشاهده می‌شود، اختلاف فشار در داخل محلول با عمق غوطه‌وری ۱۵ میلی‌متر بیشتر از حالات دیگر است. اختلاف فشار بیشتر سبب شکسته شدن بیشتر پیوندهای واندروالس پوسته‌ها در داخل محلول گردیده و لذا کم‌لایه‌های گرافن با تراکم بیشتر تولید می‌گردند. تصاویر تهیه شده با



شکل ۴. میکروگراف‌های FESEM از پوسته‌های تهیه شده در عمق‌های مختلف پرور: (الف) ۱۰ میلی‌متر و (ب) ۳۰ میلی‌متر.

دارای سه باند متمایز در طیف سنجی رامان است که به نام باند D، باند G، و باند 2D نام‌گذاری شده‌اند. باند D ناخالصی ساختار ورقه‌های گرافیت را نشان می‌دهد، G درجه خلوص و ساختار گرافیت را مشخص می‌کند و 2D مشخصه ساختار گرافن است. نسبت چگالی پیک 2D (I_{2D}) به چگالی پیک G (I_G) وابسته به تعداد لایه‌ها و ضخامت ورقه‌های گرافن است. نسبت $3 - 2 < I_{2D}/I_G \sim 2$ برای تک لایه، $> I_{2D}/I_G > 1$ برای دولایه‌ها و < 1 برای چند لایه‌های گرافن است [۲۹].

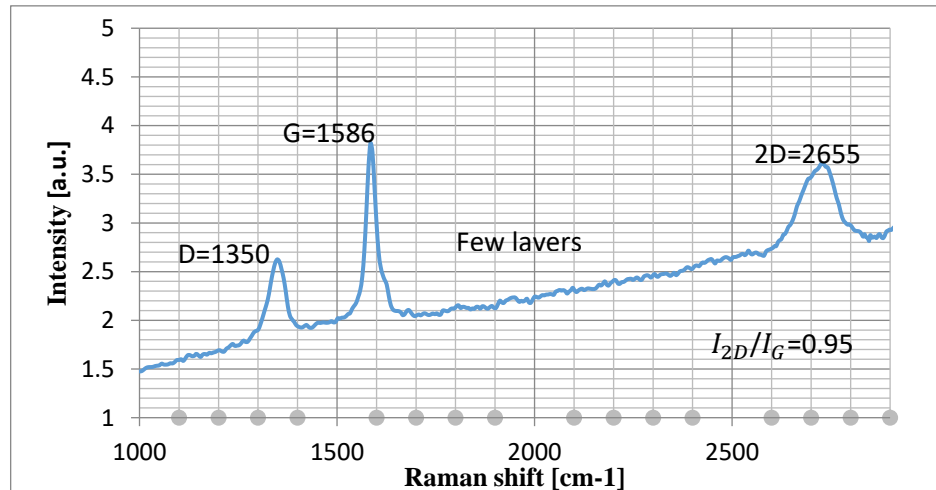
تصاویر تهیه شده با میکروسکوپ الکترونی عبوری از نمونه بهینه ساخته شده با پرور ۲۲ میلی‌متری و محلول آب-اتانول و مقدار پودر گرافیت ۰/۲۵ گرم که در بخش پیشین ارایه شدند نشان داده که نمونه‌های بهتر کم لایه یعنی بین ۱ تا ۴ لایه هستند. شکل ۵ نشان‌دهنده تعداد کم لایه‌ها است که توسط فلاش قرمز نشان داده شده است. مقایسه نتایج TEM به دست آمده با مرجع [۲۷] تولید پوسته‌های کم لایه را تأیید می‌کند. برای اطمینان بیشتر از ضخامت و کیفیت نانو پوسته‌های تولید شده برای نمونه‌ی بهینه از طیفسنجی رامان استفاده شد. در مواد دوبعدی به خصوص برای گرافن از این روش برای تعیین ضخامت لایه‌ها استفاده صورت می‌گیرد. به‌طورکلی، گرافن



شکل ۵ تصویر TEM نمونه بهینه با مقیاس های (الف) ۵۰ نانومتر و (ب) ۱۰۰ نانومتر

همان طور که در شکل ۶ مشاهده می شود $\frac{I_{2D}}{I_G} = 0.95 \sim 1$ است، که تولید موفق کم لایه (۴-۱ لایه) گرافن را تأیید می کند.

طیف رامان از نمونه بهینه ساخته شده با پروب ۲۲ میلی متری، مقدار محلول بهینه ۱۲۵ میلی لیتر و مقدار پودر گرافیت ۰/۲۵ گرم در شکل ۶ نشان داده است.



شکل ۶. طیف رامان پوسته های گرافن تولید شده در شرایط بهینه با پروب 22 mm

می شود تا پیوندهای واندوالسی بیشتری شکسته شود و نانو پوسته های بیشتر و با ضخامت کمتر تولید گردد. تصاویر میکروسکوپ الکترونی روبشی نشر میدانی نیز کیفیت بهتر پوسته های تولید شده با عمق غوطه وری ۱۵ میلی متر نسبت به حالات دیگر را تأیید می کند.

در این آزمایش ها، همچنین محلول ترکیبی آب-اتانول سبب افزایش تولید پوسته های گرافن می گردد. تصاویر میکروسکوپ

۵. نتیجه گیری

در این پژوهش، اثر نوع محلول و عمق غوطه وری پروب بر ضخامت پوسته های گرافن بررسی شد. نتایج شبیه سازی و نتایج طیف سنجی فرابنفش-مرئی، اثر عمق غوطه وری پروب بر ضخامت لایه های گرافن را مشخص ساخت. تغییر عمق غوطه وری پروب اختلاف فشار صوتی را در داخل محلول افزایش می دهد. اختلاف فشار زیاد در داخل محلول سبب

اتانول در ۱۲۵ سانتی‌متر مکعب ترکیب آب-اتانول که در مدت ۵۵ دقیقه با عمق غوطه‌وری ۱۵ میلی‌متر تحت تابش قرار گرفت به دست آمد.

۶. تقدیر و تشکر

نویسنده‌گان از دانشکده فیزیک دانشگاه صنعتی خواجه نصیرالدین طوسی برای فراهم نمودن و امکانات آزمایشگاهی برای انجام این تحقیق کمال تشکر را دارند.

۷. تضاد منافع

نویسنده‌گان هیچ منافع مالی یا روابطی که بتواند بر انتشار این مقاله تأثیر گذار باشد ندارند.

الکترونی نشر میدانی نیز نشان می‌دهد که در محلول آب-اتانول کیفیت پوسته‌های تولید شده در مقایسه به محلول آب و محلول اتانول بهتر است. عامل اصلی این بازده در محلول آب-اتانول کشش سطحی مناسب محلول (45 mJm^{-2}) است. این نتیجه، از طرفی تأییدی است براینکه مناسب‌ترین مقدار برای کشش سطحی محلول مورد استفاده در فرایند پوسته‌سازی، 45 mJm^{-2} است، و از سوی دیگر ثابت می‌کند که رابطه کانورس-رایت، مقدار درستی را برای کشش سطحی محلول ترکیبی دو جزئی در اختیار قرار می‌دهد. تصویر تهیه شده از میکروسکوپ الکترونی عبوری و طیف رaman تولید پوسته‌های کم لایه را با ابعاد بزرگتر در نمونه بهینه تأیید می‌کند. بهترین نتایج برای $0.25 \text{ گرم گرافیت محلول آب}$ -

۸. مأخذ

- [1] Afreen, Sadia, Kasturi Muthoosamy, and Sivakumar Manickam, "Sono-nano chemistry: A new era of synthesising polyhydroxylated carbon nanomaterials with hydroxyl groups and their industrial aspects", *Ultrasonics Sonochemistry*, 2019, Vol.51, pp.451-461.
- [2] Pokhrel, Nimesh, Phani Kiran Vabbina, and Nezih Pala, "Sonochemistry: science and engineering", *Ultrasonics sonochemistry*, 2016, Vol.29, pp.104-128.
- [3] Bang, Jin Ho, and Kenneth S. Suslick, "Applications of ultrasound to the synthesis of nanostructured materials", *Advanced materials*, 2010, Vol.22, no.10, pp.1039-1059.
- [4] Reuter, Fabian, Sonja Lauterborn, Robert Mettin, and Werner Lauterborn, "Membrane cleaning with ultrasonically driven bubbles", *Ultrasonics Sonochemistry*, 2017, Vol.37, pp.542-560.
- [5] Chandrapala, Jayani, Christine Oliver, Sandra Kentish, and Muthupandian Ashokkumar, "Ultrasonics in food processing", *Ultrasonics sonochemistry*, 2012, Vol.19, no.5, pp.975-983.
- [6] Mason, Timothy J., "Developments in ultrasound—non-medical", *Progress in biophysics and molecular biology*, 2007, Vol.93, no.1-3, pp.166-175.
- [7] Klíma, Jiri, A. Frias-Ferrer, José González-García, Jiri Ludvík, V. Saez, and Jesus Iniesta, "Optimisation of 20 kHz sonoreactor geometry on the basis of numerical simulation of local ultrasonic intensity and qualitative comparison with experimental results", *Ultrasonics sonochemistry*, 2007, Vol.14, no.1, p.19-28.
- [8] Kimura, Takahide, Takashi Sakamoto, Jean-Marc Leveque, Hajime Sohmiya, Mitsue Fujita, Shigeyoshi Ikeda, and Takashi Ando, "Standardization of ultrasonic power for sonochemical reaction", *Ultrasonics Sonochemistry*, 1996, Vol.3, no.3, pp. S157-S161.
- [9] Pugin, B., "Qualitative characterization of ultrasound reactors for heterogeneous sonochemistry", *Ultrasonics*, 1987, Vol.25, no.1, pp.49-55.

- [10] Faïd, F., F. Contamine, A. M. Wilhelm, and H. Delmas, "Comparison of ultrasound effects in different reactors at 20 kHz", *Ultrasonics Sonochemistry*, 1998, Vol.5, no.3, pp.119-124.
- [11] Lee, Changgu, Xiaoding Wei, Jeffrey W. Kysar, and James Hone, "Measurement of the elastic properties and intrinsic strength of monolayer graphene", *science*, 2008, Vol.321, no.5887, pp.385-388.
- [12] K. S. Novoselov, A. K. Geim, S. V. Morozov, S. V. Dubonos, Y. Zhang, and D. Jiang, "Room-temperature electric field effect and carrier-type inversion in graphene films", *ArXiv: cond-mat*, 2004, 02-15117.
- [13] Balandin, Alexander A., Suchismita Ghosh, Wenzhong Bao, Irene Calizo, Desalegne Teweldebrhan, Feng Miao, and Chun Ning Lau, "Superior thermal conductivity of single-layer graphene", *Nano letters*, 2008, Vol.8, no.3, pp.902-907.
- [14] Eima, A. K., and K. S. Novoselov, "The rise of grapheme", *Nature Materials*, 2007, Vol.6, no.3, pp.183-191.
- [15] Geim, Andre Konstantin, "Graphene: status and prospects", *science*, 2009, Vol.324, no.5934, pp.1530-1534.
- [16] Backes, Claudia, Thomas M. Higgins, Adam Kelly, Conor Boland, Andrew Harvey, Damien Hanlon, and Jonathan N. Coleman, "Guidelines for exfoliation, characterization and processing of layered materials produced by liquid exfoliation", *Chemistry of materials*, 2017, Vol.29, no.1, pp.243-255.
- [17] Bonaccorso, Francesco, Antonio Lombardo, Tawfique Hasan, Zhipei Sun, Luigi Colombo, and Andrea C. Ferrari, "Production and processing of graphene and 2d crystals", *Materials today*, 2012, Vol.15, no.12, pp.564-589.
- [18] Forsberg, Viviane, Renyun Zhang, Joakim Bäckström, Christina Dahlström, Britta Andres, Magnus Norgren, Mattias Andersson, Magnus Hummelgård, and Håkan Olin, "Exfoliated MoS₂ in water without additives", *PloS one*, 2016, Vol.11, no.4, p.e0154522.
- [19] Jawaid, Ali, Dhriti Nepal, Kyoungweon Park, Michael Jespersen, Anthony Qualley, Peter Mirau, Lawrence F. Drummy, and Richard A. Vaia, "Mechanism for liquid phase exfoliation of MoS₂", *Chemistry of Materials*, 2016, Vol.28, no.1, pp.337-348.
- [20] Grayfer, Ekaterina D., Mariia N. Kozlova, and Vladimir E. Fedorov, "Colloidal 2D nanosheets of MoS₂ and other transition metal dichalcogenides through liquid-phase exfoliation", *Advances in colloid and interface science*, 2017, Vol.245, pp.40-61.
- [21] Yuan, Hong, Xiaohong Liu, Limin Ma, Peiwei Gong, Zhigang Yang, Honggang Wang, Jinqing Wang, and Shengrong Yang, "High efficiency shear exfoliation for producing high-quality, few-layered MoS₂ nanosheets in a green ethanol/water system", *Rsc Advances*, 2016, Vol.6, no.86, pp.82763-82773.
- [22] Taghavi, Najme Sadat, and Reza Afzalzadeh, "The effect of sonication parameters on the thickness of the produced MoS₂ Nano-flakes", *Archives of Acoustics*, 2021, pp.31-40.
- [23] Cayambe, M., C. Zambrano, T. Tene, M. Guevara, G. Tubon Usca, H. Brito, R. Molina, D. Coello-Fiallos, L. S. Caputi, and C. Vacacela Gomez, "Dispersion of graphene in ethanol by sonication", *Materials Today: Proceedings*, 2021, Vol.37, pp.4027-4030.

- [24] Brotchie, Adam, Franz Grieser, and Muthupandian Ashokkumar, "Effect of power and frequency on bubble-size distributions in acoustic cavitation", *Physical review letters*, 2009, Vol.102, no.8, pp.084302.
- [25] Han, Joong Tark, Jeong In Jang, Haena Kim, Jun Yeon Hwang, Hyung Keun Yoo, Jong Seok Woo, Sua Choi et al., "Extremely efficient liquid exfoliation and dispersion of layered materials by unusual acoustic cavitation", *Scientific Reports*, 2014, Vol.4, no.1, p.5133.
- [26] Shen, Jianfeng, Yongmin He, Jingjie Wu, Caitian Gao, Kuntal Keyshar, Xiang Zhang, Yingchao Yang et al., "Liquid phase exfoliation of two-dimensional materials by directly probing and matching surface tension components", *Nano letters*, 2015, Vol.15, no.8, pp.5449-5454.
- [27] Hernandez, Yenny, Valeria Nicolosi, Mustafa Lotya, Fiona M. Blighe, Zhenyu Sun, Sukanta De, Ignatius T. McGovern et al., "High-yield production of graphene by liquid-phase exfoliation of graphite", *Nature nanotechnology*, 2008, Vol.3, no.9, pp.563-568.
- [28] Klíma, Jiri, A. Frias-Ferrer, José González-García, Jiri Ludvík, V. Saez, and Jesus Iniesta, "Optimisation of 20 kHz sonoreactor geometry on the basis of numerical simulation of local ultrasonic intensity and qualitative comparison with experimental results", *Ultrasonics sonochemistry*, 2007, Vol.14, no.1, pp.19-28.
- [29] Mushfiq, Sayed Waliulhaq, and Reza Afzalzadeh, "Verification of experimental results with simulation on production of few-layer graphene by liquid-phase exfoliation utilizing sonication", *Scientific Reports*, 2022, Vol.12, no.1, p.9872.
- [30] Durge, Rakhee, R. V. Kshirsagar, and Pankaj Tambe, "Effect of sonication energy on the yield of graphene nanosheets by liquid-phase exfoliation of graphite", *Procedia Engineering*, 2014, Vol.97, pp.1457-1465.

پی نوشت:

-
1. COMSOL Software
 2. Connors-Wright equation
 3. Acoustic Cavitation
 4. Fowler
 5. Liquid Phase Exfoliation (LPE)
 6. Raman spectroscopy
 7. Field Emission Scanning Electron Microscope (FESEM)
 8. Transmission Electron Microscope (TEM)
 9. Made in Iran
 10. Perkin-Elmer Lambda 25
 11. Sound Hard Boundary(Wall)